

(16)

669.162.283: 669.162.263.4

高炉半径方向モデル

住友金属工業㈱ 羽田野道春

中央技術研究所 ○栗田興一

I 緒言 従来、高炉内部状態を推定するモデルは、断面均一、または、半径方向には、ガス、固体の流れがない等の仮定のもとで、解かれていた。今回、これらの仮定を取り除き、ガス流れモデルを基本に、高炉内、半径方向、高さ方向のガス、固体、液体の温度、反応分布を求め得るモデルを開発した。

II 基礎式 温度、反応計算式は次の通りである。(ガス流れについては、前報参照^{1), 2)})

$$\frac{D}{Dt} (c_I \rho_I \epsilon_I T_I) + c_I \rho_I T_I \operatorname{div} \mathbf{V}_I = -\frac{h_{IJ}}{\delta} (T_I - T_J) - \frac{h_{IK}}{\delta} (T_I - T_K) + Q_I \quad \text{温度方程式} \quad (1)$$

$$\frac{D}{Dt} (\epsilon_I C_I) + C_I \operatorname{div} \mathbf{V}_I = R_i (C_1 \dots C_n) \quad \text{反応方程式} \quad (2)$$

$$\frac{D}{Dt} (\epsilon_I \rho_I) + \rho_I \operatorname{div} \mathbf{V}_I = \sum_{i=1}^n R_i M_i \quad \text{連続の式} \quad (3)$$

モル濃度 C_i のかわりに質量分率 ξ_i を用いると、 $C_i = (\rho_I / M_i) \cdot \xi_i$ であり、(3)式を用いて(1)、(2)式を各々次のように変形する。

$$\frac{D}{Dt} (c_I T_I) = \frac{1}{\rho_I \epsilon_I} \left\{ -\frac{h_{IJ}}{\delta} (T_I - T_J) - \frac{h_{IK}}{\delta} (T_I - T_K) + Q_I \right\} - \frac{c_I T_I}{\rho_I \epsilon_I} \sum_{i=1}^n R_i M_i \quad (4)$$

$$\frac{D}{Dt} (\xi_i) = \frac{M_i}{\rho_I \epsilon_I} R_i (\xi_1 \dots \xi_n) - \frac{\xi_i}{\rho_I \epsilon_I} \sum_{i=1}^n R_i M_i \quad (5)$$

記号: $\frac{D}{Dt} \equiv \frac{\partial}{\partial t} + u \frac{\partial}{\partial x} + v \frac{\partial}{\partial y} + w \frac{\partial}{\partial z}$, I, J, K; 気相、液相、固相を示す。

i; 各反応成分を示す。

c; 熱容量, ρ ; 密度, T; 温度, h; 熱交換係数, δ ; 代表長さ

Q; 外部からの熱量, ϵ ; 空隙率, V; みかけ流速, R; 反応量, M; モル質量

III 解法 (4), (5)式は特性曲線法を用いることによって、容易に数値積分可能であり、積分方向(特性曲線方向)がガス、液体、固体の各流線となる。(相内での物質の消滅、湧き出しがない場合、各流線は、等流れ関数線と一致する。) 計算を実行するにあたり、次の仮定をもうけた。

i) 炉芯コークスの傾斜角は 60° と仮定。

ii) 液体滴下経路は炉体形状に平行となる。

IV 結果 計算結果の1例を図1に示す。

各々、ガス流線、等圧線、温度分布、鉄鉱石還元パターンを示す。

(文献) 1) 羽田野、栗田; 鉄と鋼,

62(1976) 8, P. 953.

2) 羽田野、栗田、岡根; 鉄と鋼, 63

(1977) 2, P. 217.

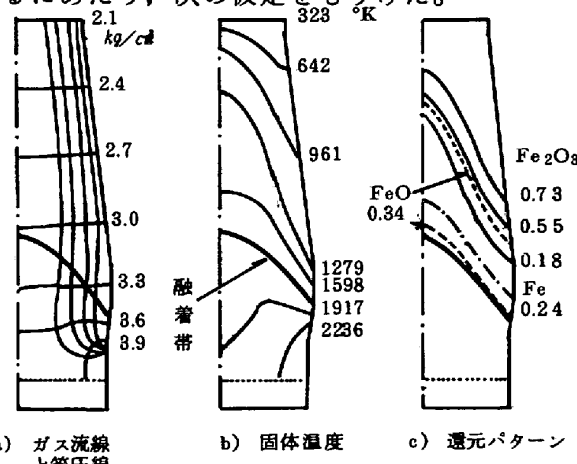


図1. 高炉半径方向モデルによる解析例